

## اثر محتوای رطوبتی بر برخی خواص فیزیکی زرشک

احسان ولایتی<sup>۱\*</sup> - باقر عمامی<sup>۲</sup> - مهدی خجسته پور<sup>۳</sup> - محمد حسین سعیدی راد<sup>۴</sup>

تاریخ دریافت: ۸۹/۲/۲۵

تاریخ پذیرش: ۹۰/۱/۱۶

### چکیده

به منظور ارتقای سطح مکانیزاسیون در عملیات برداشت و فرآوری میوه زرشک بی دانه بعنوان یکی از محصولات بومی و اساسی استان خراسان جنوبی، برخی خواص فیزیکی آن شامل ابعاد، قطر متوسط هندسی، ضربی کرویت، سطح رویه، جرم هزار دانه، چگالی واقعی، چگالی توده، تخلخل، ضربی اصطکاک استاتیک و زوایای استقرار مورد تحقیق قرار گرفت. مطالعه این خواص تحت تأثیر تغییرات محتوای رطوبتی میوه بر آنها با استفاده از طرح کاملاً تصادفی انجام گرفت. تحلیل داده‌ها نشان داد که تغییر محتوای رطوبت، در سطح احتمال ۵٪ موجب تغییر معنی دار تمامترها به جز ضربی اصطکاک بر سطح چوب و پلی اتیلن می‌شود. طول، عرض، ضخامت، قطر متوسط هندسی، سطح رویه، ضربی کرویت، جرم هزار دانه و چگالی توده با کاهش محتوای رطوبتی، کاهش و چگالی واقعی میوه، تخلخل، زوایای استقرار و ضربی اصطکاک بر سطوح مختلف به جز چوب و پلی اتیلن با کاهش رطوبت افزایش یافت.

واژه‌های کلیدی: خواص فیزیکی، زرشک، محتوای رطوبتی

### مقدمه<sup>۱</sup>

زرشک بی دانه، از جمله درختچه‌های مقاومی است که قابلیت رشد و تولید در زمین‌های کم بهره با آب شور را دارد. میوه زرشک تاکنون به عنوان یک محصول قابل فرآوری، یا برای مصرف تازه خوری، به دنیا معرفی نشده است. شناخت سایر کشورها از زرشک، فقط در حد یک گیاه دارویی و زینتی است. در ایران همه ساله و فقط در هنگام فصل برداشت در استان‌های خراسان و تا حدودی تهران، میوه زرشک به صورت تازه و به میزان بسیار کم عرضه می‌شود. در بقیه فصول سال به صورت خشک و به عنوان یک افودنی، برای غذاهای سنتی، یا برای تزیین غذا و یا دسر مورد مصرف قرار می‌گیرد. اما تولید سایر فرآوردهای آن، نظیر شربت یا مریبای زرشک، در مناطق جنوبی خراسان و به ویژه، در بیرون‌جند و قاین حتی در نیشابور مرسوم است و به صورت سنتی انجام می‌گیرد (Kafi and Balandari, ۲۰۰۲).

زرشک بی دانه به دلیل رنگ و طعم مطلوب آن در انواع مختلف غذاهای ایرانی مورد استفاده قرار می‌گیرد. عصاره حاصل از پوست و

۱- به ترتیب دانشجوی کارشناسی ارشد و استادیاران گروه ماشین‌های کشاورزی، دانشکده کشاورزی، دانشگاه فردوسی مشهد

۲- نویسنده مسئول: (Email: ehsanvelayat@yahoo.com)

۳- استادیار، مرکز تحقیقات کشاورزی و منابع طبیعی خراسان رضوی

گرم نشد این کار ادامه پیدا کرد. در نهایت درصد محتوای رطوبتی ( $U$ ) بر مبنای تر با استفاده از وزن نمونه اولیه ( $G_w + G_{dm}$ ) و وزن نمونه خشک شده ( $G_{dm}$ ) بر طبق معادله (۱) محاسبه شد (Aghbashlo *et al.*, ۲۰۰۸).

$$U = \frac{G_w}{(G_w + G_{dm})} \times 100 \quad (1)$$

که در آن  $G_w$  وزن آب موجود در نمونه می‌باشد. متوسط رطوبت میوه زرشک برای ۳ تکرار  $75/8$  درصد تعیین شد و برای انجام آزمایش‌های خواص فیزیکی چهار گروه بر اساس محتوای رطوبتی از نمونه اولیه در دامنه رطوبتی  $70$  تا  $76$  درصد،  $45$  تا  $50$  درصد،  $25$  تا  $30$  درصد و  $7$  تا  $10$  درصد آماده و آزمایش‌ها انجام شد.

## تعیین خصوصیات فیزیکی

### خواص ابعادی

ابعاد  $100$  عدد نمونه توسط کولیس دیجیتال با دقت  $\pm 0.01$  میلیمتر در سه جهت طول ( $L$ )، عرض ( $W$ ) و ضخامت ( $T$ ) اندازه گیری شد. با توجه به شباهت شکل بیضوی میوه زرشک با مدل هندسی بیضی گون، حجم میوه با استفاده از معادله (۲) محاسبه گردید (Fathollahzadeh *et al.*, ۲۰۰۸).

$$V = \frac{\pi}{6} LWT \quad (2)$$

قطر متوسط هندسی ( $D_g$ )، سطح رویه، ضرب کرویت به ترتیب با استفاده از روابط ۳ تا ۵ به شرح ذیل اندازه گیری شد (Razavi and Akbari, ۲۰۰۶).

$$D_g = (LWT)^{1/3} \quad (3)$$

$$S_a = \pi D_g^2 \quad (4)$$

$$\varphi = \frac{g}{L} \quad (5)$$

### خواص نقلی

با اندازه گیری جرم صد دانه توسط ترازوی دیجیتال (مدل AND ۶۰۰ ساخت چین) با دقت  $\pm 0.01$  گرم و ضرب آن در عدد  $10$  جرم هزار دانه محاسبه شد (Akinci *et al.*, ۲۰۰۴). چگالی توده ( $\rho_B$ ) با تقسیم جرم حجم معینی از محصول به حجم آن محاسبه شد، بدین ترتیب که محصول از ارتفاع  $150$  میلیمتری در داخل ظرفی با حجم  $500$  سانتی متر مکعب ریخته شد و پس از پرسدن ظرف سطح آن بدون کمترین اعمال فشاری صاف گردید و سپس جرم محصول داخل ظرف به طور خالص اندازه گیری شد که از تقسیم این مقدار بر

است که در پنج طیف محتوی رطوبتی میوه مورد بررسی قرار گرفته است (Fathollahzadeh *et al.*, ۲۰۰۸). آن‌ها با انجام آزمایش در رطوبت‌های  $89/23$ ،  $80/11$ ،  $53/11$ ،  $38/09$  و  $12/64$  گزارش کرده اند که با افزایش رطوبت، سطح مقطع، ضرب کرویت، وزن، چگالی واقعی، چگالی توده، حجم و ضرب اصطکاک استاتیکی میوه زرشک افزایش و تخلخل آن کاهش می‌یابد. از آنجایی که تولید عمده زرشک ایران متعلق به استان خراسان جنوبی می‌باشد و ممکن است خصوصیات فیزیکی متفاوتی با زرشک بومی منطقه کرج داشته باشد، به همین لحاظ در این پژوهش کلیه خواص فیزیکی مورد نیاز زرشک بی‌دانه بومی خراسان مورد تحقیق قرار گرفت. خواص فیزیکی شامل ابعاد، قطر متوسط، ضرب کرویت، سطح رویه، جرم هزار دانه، چگالی دانه، چگالی توده، ضرب اصطکاک استاتیک و زوایای استقرار بوده که در دامنه متفاوت رطوبتی (۷ تا  $76$  درصد بر پایه تر) مورد مطالعه و بررسی قرار گرفتند.

## مواد و روش‌ها

### تهیه و آماده سازی نمونه‌ها

میوه زرشک محصول منطقه بیرون همراه با شاخه و برگ از بازار تهیه و به مدت یک هفته در دمای  $5$  درجه سانتی گراد در یخچال آزمایشگاهی نگهداری شد. مقدار محصول لازم برای هر آزمایش به صورت دستی جدا و از وجود مواد خارجی پاکسازی شد. برای انجام هر سری از آزمایشات، نمونه‌ها به مدت یک ساعت زودتر از یخچال آزمایشگاهی خارج و در دمای اتاق ( $25^{\circ}\text{C}$ ) نگهداری شد (ASAE, ۱۹۹۸). کلیه مراحل آزمایش خواص فیزیکی به جز تعیین محتوای رطوبتی محصول در آزمایشگاه گروه ماشین‌های کشاورزی دانشگاه فردوسی مشهد انجام گرفت و تعیین محتوای رطوبتی میوه در آزمایشگاه بخش فنی مهندسی مرکز تحقیقات جهاد کشاورزی خراسان رضوی انجام گردید. کلیه آزمایشات در پاییز  $1387$  به انجام رسید.

### تعیین محتوای رطوبتی محصول

برای تعیین محتوای رطوبت محصول از آون فن دار (مدل Memmert، ساخت آلمان) استفاده گردید. در حدود  $20$  گرم میوه زرشک در ظرف مخصوص که قبلاً وزن شده بود قرار گرفت و در آون با درجه حرارت  $2^{\circ}\text{C}$   $10.5 \pm 0.5$  دقیقه قرار داده شد، پس از  $4$  ساعت نمونه‌ها به همراه ظرف از آون خارج و در دیسیکاتور سرد شد و پس از توزین مجدد با ترازوی دیجیتال (مدل GEC AVERY) ساخت از  $0.001$  گرم، در آون با همان دما قرار گرفت و تا زمانی که اختلاف وزن نمونه قبل و بعد از خشک شدن، کمتر از  $0.5$ %

یکدیگر به حالت طبیعی فراهم شود. زاویه استقرار پس از اندازه گیری ارتفاع دو نقطه شیب دار کپه و فاصله افقی بین این دو نقطه (شکل ۲) و سپس جایگذاری در رابطه (۷) به دست آمد (Aviara *et al.*, ۲۰۰۲) (الف) و سپس جایگذاری در رابطه (۷) به دست آمد (Ogunjimi *et al.*, ۲۰۰۵; Razavi and Akbari, ۲۰۰۶):



شکل ۱- سطح شیب دار بکار رفته برای اندازه گیری ضریب اصطکاک استاتیکی

Fig. 1- The applied inclined plane to measure static coefficient of friction

$$\theta_e = \tan^{-1} \left[ \frac{h_2 - h_1}{x_2 - x_1} \right] \quad (7)$$

زاویه استقرار استاتیک (θ<sub>s</sub>) نیز با استفاده از یک جعبه ثابت شده بر روی بازوی قابل چرخش حول محور افقی (شکل ۲ ب) و تعیین زاویه شروع به ریزش دانه ها به عنوان زاویه استقرار استاتیکی تعیین گردید (Olajide and Ade-Omowaye, ۱۹۹۹; Ghasemi, ۱۹۹۹; Varnamkhasti *et al.*, ۲۰۰۸).

Deshpande *et al.*, ۱۹۹۳). چگالی واقعی میوه (ρ<sub>S</sub>) با استفاده از روش جابجایی تولوئن در

مورد نمونه مشخصی از ماده با جرم معین انجام پذیرفت و به همین روش حجم تعداد معینی از محصول با توجه به اینکه جابجایی تولوئن حداقل ده برابر کوچکترین واحد اندازه گیری باشد (Akbari, ۲۰۰۶) محاسبه شد.

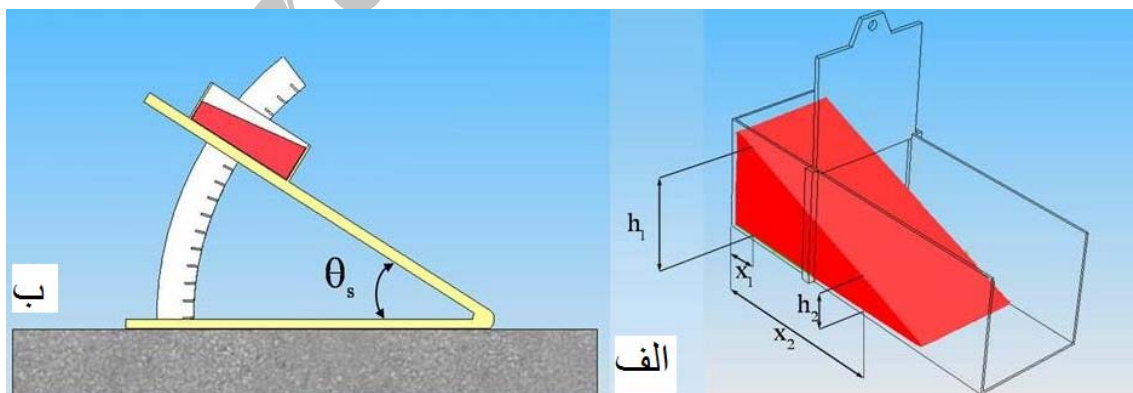
تخلخل (ε) که نشان دهنده درصد فضای خالی بین دانه های محصول است و دانستن آن در طراحی مواردی همچون انبار و خشک کن به منظور مطالعه جریان هوا و گرما ضروری می باشد (Mohsenin, ۱۹۸۶) با استفاده از رابطه ۶ بدست آمد:

$$\epsilon = 1 - \frac{\rho_B}{\rho_S} \quad (6)$$

#### خواص اصطکاکی

ضریب اصطکاک استاتیکی (μ) نمونه ها با استفاده از سطح شیب دار مجهز به پیچ قابل تنظیمی که با استفاده از آن می توان به تدریج شیب صفحه را افزایش داد (شکل ۱) اندازه گیری شد. آزمایشات بر روی سطوح آهن معمولی، آهن گالوانیزه نرم، آهن گالوانیزه زبر، الومینیوم، چوب، لاستیک، کارتون پلاست، شیشه، پلی اتیلن، یونولیت و کاغذ مقواج جعبه انجام شد. بدین منظور سطح شیب دار با ورق هایی از جنس های فوق پوشانده شده و قبل از تکرار هر آزمایش، سطح مزبور کاملا تمیز می شد.

زاویه استقرار دینامیک (تخیله) (θ) نیز با استفاده از جعبه ویژه ای که در جلو مجهز به یک درب کشویی است اندازه گیری شد. بدین ترتیب که ابتدا جعبه از محصول پر شده و سپس درب کشویی جلو به سرعت بالا کشیده شد تا امکان لغزیدن دانه های زرشک بر روی



شکل ۲- الف: جعبه مخصوص با درب کشویی جهت اندازه گیری زاویه استقرار دینامیکی، ب: روش اندازه گیری زاویه استقرار استاتیکی

Fig. 2- A: Applied box with front sliding panel to measure the dynamic repose angle, B: the way of measurement of static repose angle

مشاهده کرد که با کاهش محتوای رطوبتی در میوه زرشک مقادیر بدست آمده برای تمامی این خواص کاهش می‌یابد. میانگین طول و عرض میوه زرشک با کاهش محتوای رطوبتی کاهش می‌یابد این مقدار برای طول از  $10/31$  میلی متر به  $8/94$  میلی متر و برای عرض میوه از  $6/49$  میلی متر به  $5/41$  میلی متر کاهش می‌یابد. این کاهش مقادیر را برای زرشک محلی کرج به ترتیب برای طول، عرض و ضخامت  $12/01$  تا  $8/11$  و  $5/81$  تا  $5/75$  میلی مترگزارش شده است (Fathollahzadeh et al., 2008). در بین ابعاد، ضخامت، نزول یکنواختی را با کاهش رطوبت از خود نشان داد به طوری که این مقدار از میانگین  $6/12$  میلی متر به  $3/17$  میلی متر تقلیل می‌یابد و به همین صورت میزان ضخامت در هر رطوبت با میزان ضخامت در رطوبت قبلی اختلاف معنی داری در سطح  $0/01$  دارد و با توجه به عدم وجود اختلاف معنی دار در مورد طول در رطوبت سوم و چهارم و همچنین در مورد عرض در رطوبت‌های دوم و سوم می‌توان تنتیجه گرفت که کاهش رطوبت اثر بیشتری بر ضخامت میوه نسبت به دو بعد دیگر دارد که این رفتار دانه زرشک بایستی در طراحی و کاربرد ماشین‌های جداسازی و اندازه بندی دانه‌های زرشک مدنظر قرار گیرد.

## تحلیل آماری داده‌ها

خواص فیزیکی میوه زرشک شامل چگالی واقعی، چگالی توده و جرم هزار دانه در سه تکرار، ضریب اصطکاک استاتیک در تکرارهای نامساوی بیش از ۵ بار، زوایای استقرار دینامیک و استاتیک هر کدام در ۵ تکرار و بعد میوه و پارامترهای مربوط به آن نیز در نمونه‌های ۱۰۰ تایی و در ۴ دامنه متفاوت رطوبتی در قالب طرح بلوك تصادفی SPSS مورد آزمون قرار گرفت و نتایج بدست آمده توسط نرم افزار ۱۲ SPSS مورد تحلیل و بررسی قرار گرفت. بر این اساس میانگین تیمارها بر اساس آزمون چند دامنه ای دانکن مقایسه شد.

## نتایج و بحث

### خواص ابعادی

نتایج بدست آمده تجزیه واریانس خواص ابعادی شامل قطر بزرگ، قطر متوسط، قطر کوچک، قطر متوسط هندسی، سطح رویه و ضریب کرویت در جدول ۱ نشان داده شده است. با توجه به این جدول مشاهده می‌شود که در تمام موارد، خواص فوق دارای اختلاف معنی دار در دامنه‌های رطوبتی مورد مطالعه در سطح احتمال  $1\%$  هستند. همچنین با توجه به داده‌های جداول ۲ و ۳ می‌توان به خوبی

جدول ۱ - تجزیه واریانس خواص ابعادی میوه زرشک

Table ۱. The variance analysis of dimensional properties of berberis

میانگین مربعات		منابع تغییرات		درجه آزادی		
قطر کوچک	قطر متوسط	قطر بزرگ				
$154/66^{**}$	$20/39^{**}$	$38/627^{**}$		۳		بین گروه‌ها
$0/403$	$0/456$	$0/319$		۳۹۶		داخل گروه‌ها
کرویت	سطح رویه	قطر متوسط هندسی	درجه آزادی		منابع تغییرات	
$0/260^{**}$	$128/62/445^{**}$	$79/955^{**}$	۳		بین گروه‌ها	
$0/002$	$44/377$	$0/208$	۳۹۶		داخل گروه‌ها	

\*\*\*-معنی داری در سطح احتمال  $1\%$  را نشان می‌دهد

جدول ۲ - نتایج مقایسه میانگین طول، عرض و ضخامت میوه زرشک در رطوبت‌های مختلف

Table ۲. Mean comparison of length, width and thickness of berberis in various levels of moisture contents

محتوای رطوبتی بر حسب درصد ماده تر				مشخصه آماری	پارامتر آماری
۷-۱۰	۲۵-۳۰	۴۵-۵۰	۷۰-۷۶		
$8/94^a$	$9/67^a$	$10/18^b$	$10/31^c$	میانگین	
$0/62$	$0/63$	$0/50$	$0/49$	انحراف میانگین	انحراف میانگین
$5/41^a$	$5/90^b$	$6/06^b$	$6/49^c$	میانگین	میانگین
$0/77$	$0/61$	$0/56$	$0/68$	انحراف میانگین	انحراف میانگین
$3/17^a$	$4/66^b$	$5/28^c$	$6/12^d$	میانگین	میانگین
$0/65$	$0/66$	$0/59$	$0/63$	انحراف میانگین	انحراف میانگین

حروف لاتین مشابه در ردیف‌ها نشان دهنده عدم تفاوت معنی دار در سطح  $0/01$  است

جدول ۳ - نتایج مقایسه میانگین قطر متوسط هندسی، سطح رویه و ضریب کرویت زرشک در رطوبت‌های مختلف

Table ۳. Mean comparison of geometrical diameter, surface area and sphericity of berberis in various levels of moisture contents

محتوای رطوبتی بر حسب درصد ماده تر				مشخصه آماری	پارامتر آماری
۷-۱۰	۲۵-۳۰	۴۵-۵۰	۷۰-۷۶	میانگین	میانگین
۵/۳۱ <sup>a</sup>	۶/۴۰ <sup>b</sup>	۶/۸۷ <sup>c</sup>	۷/۴۲ <sup>d</sup>	قطر متوسط هندسی (میلی متر)	
.۰/۳۹	.۰/۳۸	.۰/۴۲	.۰/۵۹	انحراف معیار	
۸۹/۱۷ <sup>a</sup>	۱۲۹/۳۵ <sup>b</sup>	۱۴۸/۷۸ <sup>c</sup>	۱۷۳/۹۹ <sup>d</sup>	سطح رویه (میلی متر مربع)	
۱۳/۴۲	۱۵/۶۳	۱۸/۴۳	۲۷/۳۰	انحراف معیار	
.۰/۶۰ <sup>a</sup>	.۰/۶۶ <sup>b</sup>	.۰/۶۷ <sup>c</sup>	.۰/۷۲ <sup>d</sup>	ضریب کرویت	
.۰/۰۵	.۰/۰۵	.۰/۰۴	.۰/۰۴	انحراف معیار	

حروف لاتین مشابه در ردیف‌ها نشان دهنده عدم تفاوت معنی دار در سطح ۰/۰۱ است

دانه برای زرشک منطقه خراسان از ۰/۱۶ به ۰/۰۵ گرم می‌باشد. چگالی واقعی میوه که به عنوان یکی از پارامتر مهم در طراحی ماشین‌های جداسازی ترسیبی و گریز از مرکز به کار می‌رود (Razavi and Akbari, ۲۰۰۶) برخلاف موارد مذکور قبلی با کاهش رطوبت (۷۶ از بे ۷ درصد بر پایه تر)، افزایش نشان داد و از ۰/۷۳ به ۰/۰۹۳ گرم بر سانتیمتر مکعب رسید. میزان تغییرات چگالی واقعی و چگالی توده در مورد زرشک بومی کرج به ترتیب ۱/۳۵ تا ۱/۹۵ گرم بر سانتیمتر مکعب و ۱/۳۴ تا ۰/۷ گرم بر سانتی متر مکعب در ازای کاهش رطوبت از ۸۹/۲۳ درصد به ۱۲/۶۴ درصد (بر پایه تر) گزارش شده است (Fathollahzadeh *et al.*, ۲۰۰۸). همانطور که در جدول ۵ قابل مشاهده است با کاهش رطوبت، چگالی توده با کاهش غیر خطی از ۰/۴۴ تا ۰/۳۶ گرم بر سانتی متر مکعب رسیده که بیشترین مقدار آن در دامنه رطوبتی ۴۵ تا ۵۰ درصد بر حسب پایه تر و به میزان ۰/۰۴۷ گرم بر سانتی متر مکعب گزارش شده است. محاسبات نشان داد که درصد تخلخل از ۳۸/۱۵ در دامنه رطوبتی ۷۰ تا ۷۶ به ۰/۹۶ در دامنه رطوبتی ۷ تا ۱۰ درصد (بر پایه تر) افزایش می‌یابد که برای زرشک بومی کرج نیز همزمان با کاهش محتوی رطوبتی، تغییرات افزایشی از ۳۷/۳۴ به ۴۸/۳۱ گزارش شده است (Fathollahzadeh *et al.*, ۲۰۰۸).

قطرهای متوسط حسابی، هندسی و سطح رویه به عنوان پارامترهای وابسته به سه بعد اصلی میوه زرشک نیز با کاهش رطوبت کاهش نشان دادند و این مقادیر به ترتیب، برای قطر حسابی از ۷/۶۴ میلی متر به ۵/۸۴ میلی متر، برای قطر هندسی از ۷/۴۲ میلی متر به ۵/۳۱ میلی متر و برای سطح رویه نیز از ۱۷۳/۹۹ به ۸۹/۱۷ میلی متر مربع تقلیل یافته اند. میزان کرویت زرشک نیز با کاهش رطوبت روندی نزولی نشان داد و میزان آن از ۷۲ به ۶۰ درصد تقلیل یافت. در تحقیقی که در همین موارد برای زرشک محصول منطقه کرج انجام شد کاهش قطر هندسی از ۷/۳۶ به ۲/۹۶ میلی متر، و همچنین تغییرات کاهشی سطح رویه و ضریب کرویت نیز به ترتیب از ۱۷۰/۱۳ به ۲۷/۶۹ و ۶۱/۴۶ به ۳۶/۶۱ گزارش شده است (Fathollahzadeh *et al.*, ۲۰۰۸).

### خواص ثقلی

نتایج تجزیه واریانس خواص ثقلی میوه زرشک شامل جرم هزار دانه، چگالی واقعی میوه و توده در جدول ۴ نشان داده شده است. جرم هزار دانه با کاهش رطوبت از ۱۵۵/۹۳ گرم به ۵۰/۶۳ گرم تقلیل یافت. فتح الله زاده و همکاران نیز تغییرات مقدار وزن متوسط دانه را برای زرشک بومی کرج از ۰/۴۱ تا ۰/۱۲ گرم همراه با کاهش رطوبت گزارش کرده اند، که این مقدار با تبدیل جرم هزار دانه به جرم متوسط

جدول ۴ - نتایج تجزیه واریانس خواص ثقلی میوه زرشک

Table ۴. The variance analysis of gravity properties of berberis

منابع تغییرات	درجۀ آزادی	جرم هزار دانه	چگالی واقعی	چگالی توده	میانگین مربعات
بین گروه‌ها	۳	۶۱۹۸/۹۳۷ <sup>**</sup>	۰/۰۲۲ <sup>**</sup>	۰/۰۰۶ <sup>**</sup>	
داخل گروه‌ها	۸	۷۴/۱۱۹	.	.	

\*\*- معنی داری در سطح ۰/۰۱ را نشان می‌دهد

جدول ۵ - مقایسه میانگین خواص ثقلی میوه زرشک در رطوبت‌های مختلف به وسیله آزمون دانکن

Table ۵. Mean comparison of gravity properties of berberis in various levels of moisture contents

محتوای رطوبتی بر حسب درصد ماده تر				پارامتر آماری	مشخصه آماری
۷-۱۰	۲۵-۳۰	۴۵-۵۰	۷۰-۷۶		
۵۰/۶۳ <sup>a</sup>	۹۵/۹۷ <sup>b</sup>	۱۲۹/۵۸ <sup>c</sup>	۱۵۵/۹۳ <sup>d</sup>	میانگین	
.۰/۸۰	۱/۱۷	۱۶/۸۰	۳/۵۱	انحراف معیار	جرم هزار دانه (گرم)
.۰/۹۳ <sup>d</sup>	.۰/۸۸ <sup>c</sup>	.۰/۸۲ <sup>b</sup>	.۰/۷۳ <sup>a</sup>	میانگین	چگالی متوسط واقعی دانه (گرم بر سانتی متر مکعب)
.۰/۰۴	.۰/۰۰	.۰/۰۱	.۰/۰۲	انحراف معیار	
.۰/۳۶ <sup>a</sup>	.۰/۴۲ <sup>b</sup>	.۰/۴۷ <sup>c</sup>	.۰/۴۴ <sup>bc</sup>	میانگین	چگالی توده (گرم بر سانتی متر مکعب)
.۰/۰۰	.۰/۰۳۲	.۰/۰۰	.۰/۰۰	انحراف معیار	
۶۰/۹۶	۵۲/۶۶	۴۲/۵۷	۳۸/۱۵	میانگین	تخلخل (درصد)

حروف لاتین مشابه در ردیف‌ها نشان دهنده عدم تفاوت معنی دار در سطح احتمال ۱٪ است

مخصوص کرده)،  $\Phi_r$  زاویه استقرار،  $M$  درصد رطوبت،  $D_{av}$  قطر متوسط،  $S$  جرم مخصوص و  $a, b, c, d$  مقادیر ثابت معادله هستند که برای هرمحصول جداگانه محاسبه می‌شوند (Razavi and Akbari, ۲۰۰۶). در خصوص میوه زرشک به نظر می‌رسد چروکیده شدن میوه در رطوبت‌های پایین نسبت  $n$  را با شدت بیشتری افزایش داده است از طرف دیگر جرم مخصوص ( $S$ ) افزایش و قطر متوسط ( $D_{av}$ ) کاهش می‌یابد که در نهایت تاثیر عوامل افزاینده بسیار بیشتر از عامل کاهنده رطوبت ( $M$ ) می‌گردد.

$$\tan\Phi_r = an^2 + b \frac{M}{D_{av}} + cs + d \quad (8)$$

به هر حال بررسی این رفتار نیازمند اطلاعات بیشتری می‌باشد که می‌توان با انجام آزمایشات مشابه بر روی محصول زرشک مناطق دیگر به آن دست یافت.

### خواص اصطکاکی

نتایج تجزیه واریانس داده‌های بدست آمده برای زوایای استقرار استاتیکی و دینامیکی در جدول ۶ نشان داده شده است. وجود اختلاف معنی دار در سطح احتمال ۱٪ در مورد هر کدام از زوایا به خوبی مشهود است. نتایج مقایسه میانگین‌ها نیز بر اساس آزمون چند دامنه‌ای دانکن در جدول ۷ گزارش شده است. در اکثر تحقیقات انتشار یافته، زاویه استقرار با کاهش محتوی رطوبتی کاهش می‌یابد به عنوان مثال در مورد عدس این زاویه از ۲۸/۷۸ به ۲۴/۸۰ درجه (Nimkar et al., ۲۰۰۴) و نخود سبز از ۳۱ به ۲۶/۶ درجه (Amin et al., ۲۰۰۱) کاهش می‌یابد. اما در مورد میوه زرشک این روند تغییرات معکوس بود به طوری که از ۲۸/۰۲ به ۴۱/۳۰ افزایش یافت. برای توضیح این رفتار می‌توان به معادله تجزیه ارجاع نمود که پاره‌ای از محققین برای محاسبه زاویه استقرار به عنوان تابعی از عوامل مختلف ارائه داده اند. در این رابطه  $n$  فاکتور شکل (نسبت سطح مخصوص ماده جامد به سطح

جدول ۶ - نتایج تجزیه واریانس زوایای استقرار میوه زرشک

Table ۶. The variance analysis of repose angles of berberis

میانگین مربعات	منابع تغییرات	درجه آزادی	استقرار استاتیک	استقرار دینامیک	
۳۶۷/۱۳*	**	۲۱۹/۴۹۶	**	۳	بین گروه‌ها
۲۱/۲۱۳		۲۹/۹۵۰		۱۶	داخل گروه‌ها

\*\* - معنی داری در سطح احتمال ۱٪ را نشان می‌دهد

جدول ۷ - زوایای استقرار

Table ۷. Repose angles of berberis

۷-۱۰	۲۵-۳۰	۴۵-۵۰	۷۰-۷۶	رطوبت
۴۱/۳۰ ± ۲/۸۸ <sup>bc</sup>	۳۶/۵۶ ± ۷/۸۱ <sup>c</sup>	۴۴/۳۲ ± ۳/۴۳ <sup>a</sup>	۲۸/۰۲ ± ۳/۴۳ <sup>b</sup>	زاویه استقرار دینامیک (درجه)
۶۱/۳۲ ± ۳/۴۷ <sup>c</sup>	۶۱/۷۶ ± ۳/۹۳ <sup>c</sup>	۴۷/۱۶ ± ۱/۸۷ <sup>a</sup>	۴۷/۱۶ ± ۸/۴۲ <sup>b</sup>	زاویه استقرار استاتیک (درجه)

حروف لاتین مشابه در هر ردیف نشان دهنده عدم تفاوت معنی دار در سطح احتمال ۱٪ است

۰/۵۹ افزایش می یابد. در دسته سوم که شامل آلومینیوم، لاستیک، شیشه، یونولیت، آهن گالوانیزه زبر و مقوا جعبه می شود می توان طبق آزمون چند دامنه‌ای دانکن در سطح احتمال ۵٪ (جدول ۱۰) میانگین ضرایب اصطکاک در رطوبت‌های مختلف را برای هر سطح آزمایشی در ۳ دسته، طبقه بندی کرد که این به معنی وجود تعداد میانگین‌های متفاوت بیشتر در بازه تغییرات رطوبتی زرشک است و بنابر همین مطلب، می توان شدت تغییرات ضریب اصطکاک به ازای تغییرات رطوبت را در این مواد نسبت به دسته های قبلی بیشتر دانست. محتوای رطوبت در این مواد به ترتیب از ۰/۵۶ به ۰/۷۷، ۰/۴۱ به ۰/۹۱، ۰/۵۷ به ۰/۵۷، ۰/۷۶ به ۰/۵۷، ۰/۴۳ به ۰/۵۶ و ۰/۴۳ به ۰/۵۷ افزایش یافت. مطلب دیگر آنکه دو ماده اخیر یعنی آهن گالوانیزه زبر و مقوا جعبه روندی کاملاً غیر خطی از خود نشان می دهند به طوری که بیشترین مقدار را در رطوبت دوم از خود بروز می دهند که به ترتیب برابر ۰/۷۰ و ۱/۰۷ است.

### نتیجه گیری

تغییرات محتوای رطوبتی یکی از عوامل موثر در تعییر خواص فیزیکی میوه زرشک است به طوری که خواصی چون ابعاد میوه شامل قطر بزرگ، قطر متوسط، قطر کوچک، قطر متوسط هندسی، سطح رویه، ضریب کرویت، جرم هزار دانه و چگالی توده با کاهش محتوی رطوبتی کاهش و چگالی دانه، زوایای استقرار و ضرایب اصطکاک بر سطوح مختلف به جز چوب و پلی اتیلن با کاهش رطوبت افزایش یافت.

ضریب اصطکاک استاتیک میوه بر روی سطوح و در رطوبت‌های مختلف نیز بررسی گردید. نتایج در جداول ۸، ۹ و ۱۰ آورده شده است. رفتار اصطکاکی محصول بر روی سطوح متفاوت روند یکسانی را نشان داد. در مورد چوب و پلی اتیلن هیچ اختلاف معنی داری در سطح احتمال ۱٪ و ۵٪ مشاهده نشد. ضریب اصطکاک استاتیک محصول بر روی چوب و پلی اتیلن به ترتیب با میانگین ۰/۷۴ و ۰/۴۳ بدست آمد. دلایل متعددی در خصوص این رفتار قابل طرح است. از جمله این که، آن چه ماهیت اصطکاک میوه را بر روی چوب تحت شعاع قرار می دهد داشتن ناهمواری‌های بزرگتر در چوب نسبت به ناهمواری‌های بزرگ مانع اثر ناهمواری‌های کوچک سطح میوه در بروز رفتار اصطکاکی می شود، در واقع تغییرات ضریب اصطکاک نسبت به واریانس داده ها بسیار ناچیز است و از نظر آماری بدون تفاوت معنی دار می باشد. در مورد پلی اتیلن نیز قابل ذکر است که خواص الکترواستاتیک آن تا حدی در نتایج آزمایش اثر گذاشته و مانع از بروز تغییر رفتار اصطکاکی میوه شده اند. با توجه به داده های جدول ۱۰ مشاهده می شود که بعضی دیگر از مواد مستقاده در آزمون نیز تمایل چندانی برای تغییر ضریب اصطکاک استاتیکی نسبت به بقیه از خود نشان نداده و شامل تغییرات جزئی ولی در عین حال معنی داری در سطح احتمال ۱٪ بوده اند. با مقایسه میانگین هر کدام از این مواد می توان میانگین‌های آن ماده در رطوبت‌های مختلف را در دو کلاس اصطکاکی رده بندی کرد، از جمله این مواد می توان به آهن معمولی، آهن گالوانیزه نرم، آهن ضد زنگ (استیل) و کارتون پلاست نام برد که ضرایب اصطکاک آنها با کاهش محتوای رطوبتی به ترتیب از ۰/۵۲ به ۰/۶۲، ۰/۳۲ به ۰/۵۲ و ۰/۴۹ به ۰/۷۸ و ۰/۴۹ به ۰/۶۲ متفاوتند.

جدول ۸ - تجزیه واریانس ضرایب اصطکاک میوه زرشک بر سطوح چوب، آهن معمولی، آهن گالوانیزه نرم، آهن ضد زنگ و آلومینیوم

Table 8. The variance analysis of friction coefficient of berberis on planes of wood, iron, soft galvanized iron, rough galvanized iron, stainless steel and aluminum

آهن گالوانیزه نرم			آهن معمولی			چوب			سطح آزمایش		
منبع تغییرات	درجه آزادی	میانگین مربعات	درجه آزادی								
بین گروهها	۳	۰/۰۳۲	**	۳	۰/۰۰۷	ns	۳	۰/۰۰۷	۳	۰/۰۰۷	۳
	۳۷	۰/۰۰۴		۳۸	۰/۰۰۶		۳۳	۰/۰۰۶	۳۳	۰/۰۰۶	۳۳
درون گروهها											
سطح آزمایش											
بین گروهها											
درون گروهها											

ns - معنی داری در سطح احتمال ۰/۰۱ و عدم معنی داری را نشان می دهد

جدول ۹ - تجزیه واریانس ضرایب اصطکاک میوه زرشک بر سطوح لاستیک، کارتون پلاست، پلی اتیلن، شیشه، یونولیت و مقوای جعبه  
Table ۹. The variance analysis of friction coefficient of berberis on the planes of rubber, plastic, polyethylene, glass, unolit and box paper

پلی اتیلن			کارتون پلاست			لاستیک			سطح آزمایش		
منبع تغییرات	درجه آزادی	میانگین مربعات	منبع تغییرات	درجه آزادی	میانگین مربعات	منبع تغییرات	درجه آزادی	میانگین مربعات	منبع تغییرات	درجه آزادی	میانگین مربعات
ns	۳	.۰/۰۳۱**	ns	۳	.۰/۲۰۵**	ns	۳	.۰/۰۳۹**	بین گروهها	۳	.۰/۰۰۱
.۰/۰۰۱	۳۰	.۰/۰۰۲	۳۸	.۰/۰۰۳	۲۹	درون گروهها	۳	.۰/۰۰۳	درون گروهها	۳۵	.۰/۰۱۰
مقوای جعبه		یونولیت	شیشه		سطح آزمایش						
منبع تغییرات	درجه آزادی	میانگین مربعات	منبع تغییرات	درجه آزادی	میانگین مربعات	منبع تغییرات	درجه آزادی	میانگین مربعات	منبع تغییرات	درجه آزادی	میانگین مربعات
.۰/۳۵۴**	۳	.۰/۱۴۷**	۳	.۰/۰۳۹**	۳	بین گروهها	.۰/۰۳۹**	.۰/۰۳۹**	بین گروهها	۳	.۰/۰۰۱
.۰/۰۱۰	۳۶	.۰/۰۰۸	۲۹	.۰/۰۰۳	۳۵	درون گروهها	.۰/۰۰۳	.۰/۰۰۳	درون گروهها	۳۵	.۰/۰۱۰

ns = معنی داری در سطح ۱٪ و \*\* عدم معنی داری را نشان می دهد

جدول ۱۰ - ضرایب اصطکاک استاتیک زرشک بر روی سطوح مختلف

Table ۱۰. Static coefficient of friction of berberis on various surfaces

محتوای رطوبتی				جنس سطوح	
۷-۱۰	۲۵-۳۰	۴۵-۵۰	۷۰-۷۶	چوب	آهن معمولی
.۰/۷۱±۰/۰۷ <sup>a</sup>	.۰/۷۵±۰/۰۸ <sup>a</sup>	.۰/۷۴±۰/۱۰ <sup>a</sup>	.۰/۷۸±۰/۰۶ <sup>a</sup>	آهن گالوانیزه نرم	آهن گالوانیزه زبر
.۰/۶۵±۰/۰۵ <sup>b</sup>	.۰/۶۲±۰/۰۵ <sup>b</sup>	.۰/۵۷±۰/۰۶ <sup>ab</sup>	.۰/۵۲±۰/۰۹ <sup>a</sup>	آهن گالوانیزه زبر	آهن ضد زنگ (استیل)
.۰/۵۲±۰/۰۶ <sup>b</sup>	.۰/۴۹±۰/۰۸ <sup>b</sup>	.۰/۳۳±۰/۰۱ <sup>a</sup>	.۰/۲۲±۰/۰۶ <sup>a</sup>	آلومینیوم	لاستیک
.۰/۵۶±۰/۰۶ <sup>b</sup>	.۰/۵۵±۰/۰۸ <sup>b</sup>	.۰/۷۰±۰/۱۴ <sup>c</sup>	.۰/۴۳±۰/۰۴ <sup>a</sup>	کارتون پلاست	پلی اتیلن
.۰/۷۸±۰/۰۶ <sup>b</sup>	.۰/۷۹±۰/۰۷ <sup>b</sup>	.۰/۶۲±۰/۰۵ <sup>a</sup>	.۰/۶۲±۰/۰۴ <sup>a</sup>	شیشه	یونولیت
.۰/۷۷±۰/۰۹ <sup>c</sup>	.۰/۶۳±۰/۰۳ <sup>b</sup>	.۰/۵۵±۰/۰۵ <sup>a</sup>	.۰/۵۶±۰/۰۸ <sup>a</sup>	مقوای جعبه	
.۰/۹۱±۰/۰۴ <sup>c</sup>	.۰/۷۱±۰/۰۵ <sup>b</sup>	.۰/۴۹±۰/۰۴ <sup>a</sup>	.۰/۵۷±۰/۰۷ <sup>a</sup>		
.۰/۵۹±۰/۰۴ <sup>b</sup>	.۰/۵۸±۰/۰۴ <sup>b</sup>	.۰/۴۹±۰/۰۴ <sup>a</sup>	.۰/۴۹±۰/۰۴ <sup>a</sup>		
.۰/۴۵±۰/۰۴ <sup>a</sup>	.۰/۴۳±۰/۰۳ <sup>a</sup>	.۰/۴۳±۰/۰۲ <sup>a</sup>	.۰/۴۳±۰/۰۴ <sup>a</sup>		
.۰/۵۷±۰/۰۶ <sup>c</sup>	.۰/۵۱±۰/۰۶ <sup>b</sup>	.۰/۴۷±۰/۰۲ <sup>b</sup>	.۰/۴۱±۰/۰۳ <sup>a</sup>		
.۱/۰۵±۰/۰۱ <sup>c</sup>	.۱/۰۲±۰/۱۰ <sup>c</sup>	.۰/۸۹±۰/۰۴ <sup>b</sup>	.۰/۷۶±۰/۰۶ <sup>a</sup>		
.۰/۶۷±۰/۰۸ <sup>a</sup>	.۰/۸۱±۰/۰۶ <sup>b</sup>	.۰/۷۰±۰/۱۶ <sup>c</sup>	.۰/۶۴±۰/۰۸ <sup>a</sup>		

حروف لاتین مشابه در هر ردیف نشان دهنده عدم تفاوت معنی دار در سطح احتمال ۵٪ است

اصطکاک (۰/۳۲) را با محصول زرشک نشان داد. آهن گالوانیزه زبر و مقوای جعبه روندی کاملاً غیر خطی از خود نشان می دهند به طوری که بیشترین مقدار خود را در رطوبت دوم (۲۵-۳۰ درصد) از خود بروز می دهند.

رفتار متناقض زوایای استقرار نسبت به تحقیقات صورت گرفته بر روی سایر محصولات، ناشی از تغییرات عمدۀ شکل و سطح میوه و افزایش ضریب اصطکاک آن می باشد. سطح یونولیت بیشترین ضریب اصطکاک (۱/۰۵) و سطح آهن گالوانیزه نرم کمترین ضریب

## منابع

- Aghbashlo M., Kianmehr M.H., and Hassan-Beygi S.R. ۲۰۰۸. Specific heat and thermal conductivity of berberis fruit (*Berberis vulgaris*). American Journal of Agricultural and Biological Sciences ۳ (۱): ۳۳۰-۳۳۶.
- Amin M.N., Hossain M.A., and Roy K.C. ۲۰۰۴. Effects of moisture content on some physical properties

- of lentil seeds. *Journal of Food Engineering* ۶۵: ۸۳-۸۷.
- ۲- ASAE Standards. ۱۹۹۸. Compression test of food material of convex shape. American Society of Agricultural Engineering., S۲۶۸.۲. P:۵۵۴-۵۵۹.
- ۴- Aviara N.A., Mamman E., and Umar B. ۲۰۰۵. Some physical properties of *Balanites Aegyptiaca* nuts. *Journal of Biosystems Engineering* ۹۲ (۳): ۳۲۵-۳۳۴.
- ۵- Deshpande S.D., Bal S., and Ojha T.P. ۱۹۹۳. Physical properties of soybean. *Journal of Agricultural Engineering Research*. ۵۶: ۸۹-۹۸.
- ۶- Fathollahzadeh H., Mobli H., Jafari A., Rajabipour A., Ahmadi H., and Mohammad Borghei A. ۲۰۰۸. Effect of moisture content on some physical properties of barberry. *American-Eurasian J. Agric. & Environ. Sci.*, ۳ (۵): ۷۸۹-۷۹۴.
- ۷- Filabi A., and Khaghani S. ۲۰۰۸. Possibility, opportunities and challenges of *Berberis* product by the novel technique. Internal Agricultural Engineering Conference, Red Gold Conference. South Khorasan. Iran.
- ۸- Ghasemi Varnamkhasti M., Mobli H., Jafari A., Keyhani A.R., Heidari sultanabadi M., Rafee S., and Kheiraliipour K. ۲۰۰۸. Some physical properties of rough rice (*Oryza Sativa L.*) grain. *Journal of Cereal Science* ۴۷: ۴۹۶-۵۰۱.
- ۹- Kafi M., and Balandari A. ۲۰۰۲. *Berberis Production and Processing*. Ferdowsi University of Mashhad Publication. Iran.
- ۱۰- Mohsenin N.N. ۱۹۸۶. *Physical Properties of Plant and Animal Materials*. Gordon and Breach Science Publishers. New York.
- ۱۱- Nimkar P.M., and Chattopadhyay P.K. ۲۰۰۱. Airflow resistance of green Gram. *Biosystems Engineering* ۸۲ (۴): ۴۰۷-۴۱۴.
- ۱۲- Ogunjimi L.O.A., Aviara N.A., and Aregbesola O.A. ۲۰۰۲, Some engineering properties of locust bean seed. *Journal of Food Engineering* ۵۵: ۹۵-۹۹.
- ۱۳- Olajide J.O., and Ade-Omowaye B.I.O. ۱۹۹۹. Some physical properties of locust bean seed. *Journal of Agricultural Engineering Research*. 74: ۲۱۳-۲۱۵.
- ۱۴- Razavi M.A., and Akbari R. ۲۰۰۶. *Biophysical Properties of Agricultural & Food Materials*. Ferdowsi University of Mashhad Publication. Iran.